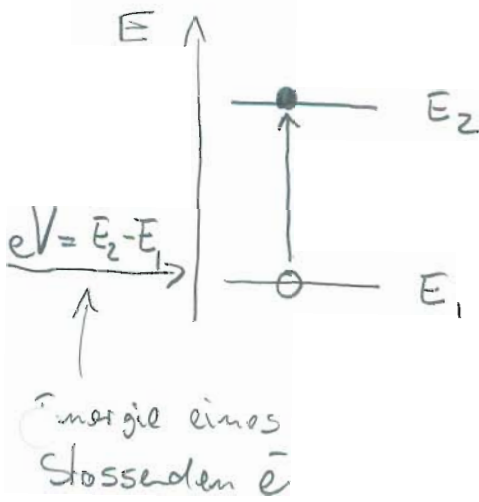
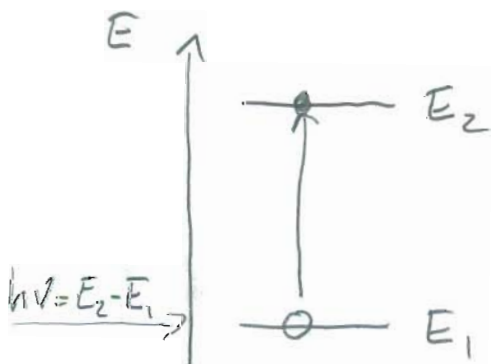


# Anregung von Atomen

- durch **Stoss** mit anderen Atomen oder mit Elektronen

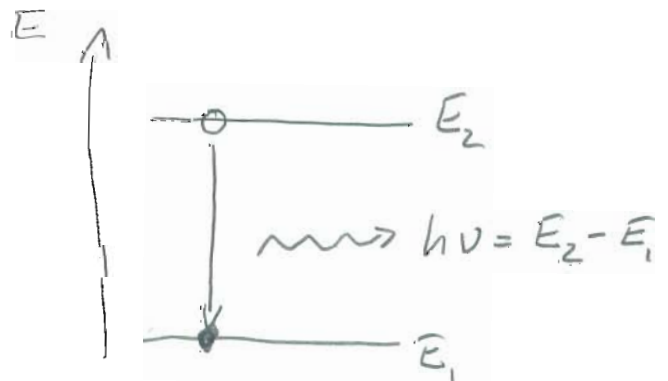


- durch **Absorption** von Photonen



## Zerfall von angeregten elektronischen Zuständen in Atomen

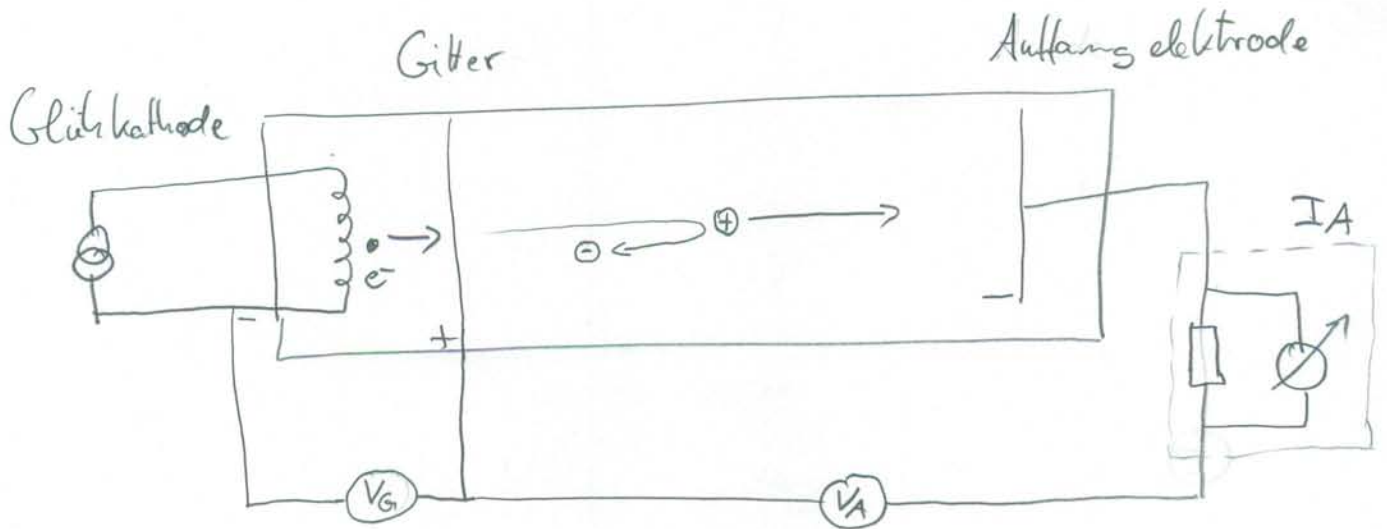
- **spontane Emission** (Vakuumfluktuationen)
- **induzierte Emission** (Photonen)
- **Stöße** (Elektronen, Atome)



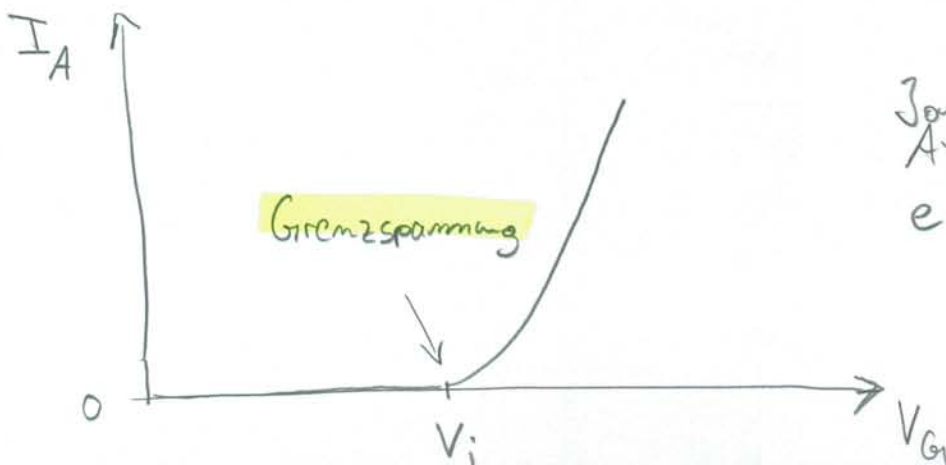
# Nicht spektroskopische Methoden zur Bestimmung diskreter Energieniveaus der Elektronen in Atomen

## Stoßionisation

- Ionisation von Atomen durch Stoß mit Elektronen



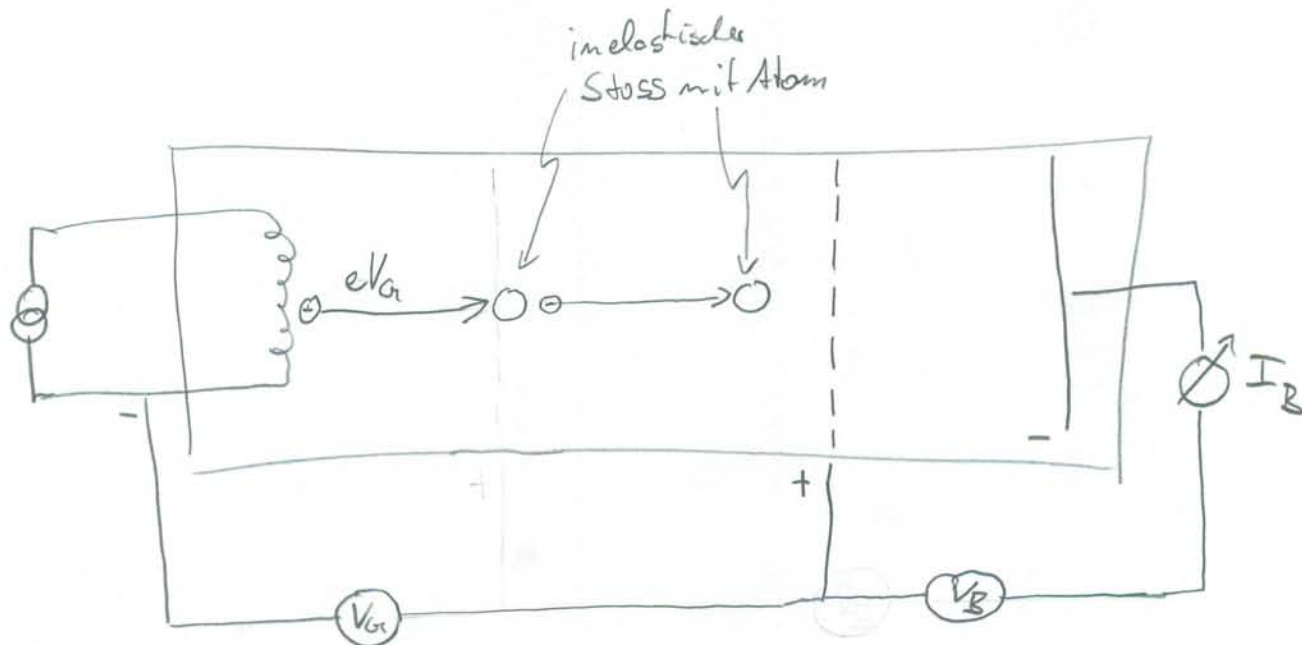
- Aufbau:
- thermische Emission von  $e^-$  an Glühkathode
  - Beschleunigung der  $e^-$  durch positive Spannung an Gitter  $V_G$
  - Ionisation von Atomen durch  $e^-$ -Stoß
  - positiv geladene Ionen werden an Auffangelektrode als Strom detektiert
  - $e^-$  werden an Gitter aufgefangen



Jonisationsenergie des Atoms:  
 $eV_i = E_i$

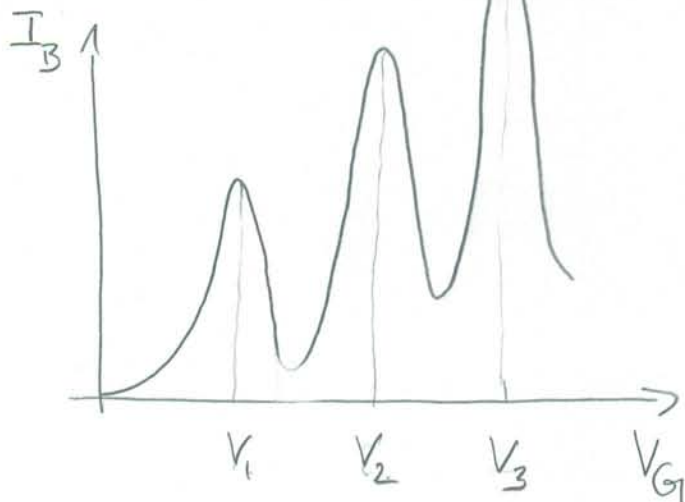
# Das Franck-Hertz Experiment

- Demonstration der **quantisierten Absorption** von Energie in Stößen zwischen Atom und Elektron



Beschleunigung von  $e^-$  mit variabler Spannung  $V_{G1}$

Messung des Elektronenstroms  $I_B$  bei kleiner Bremsspannung  $V_B$



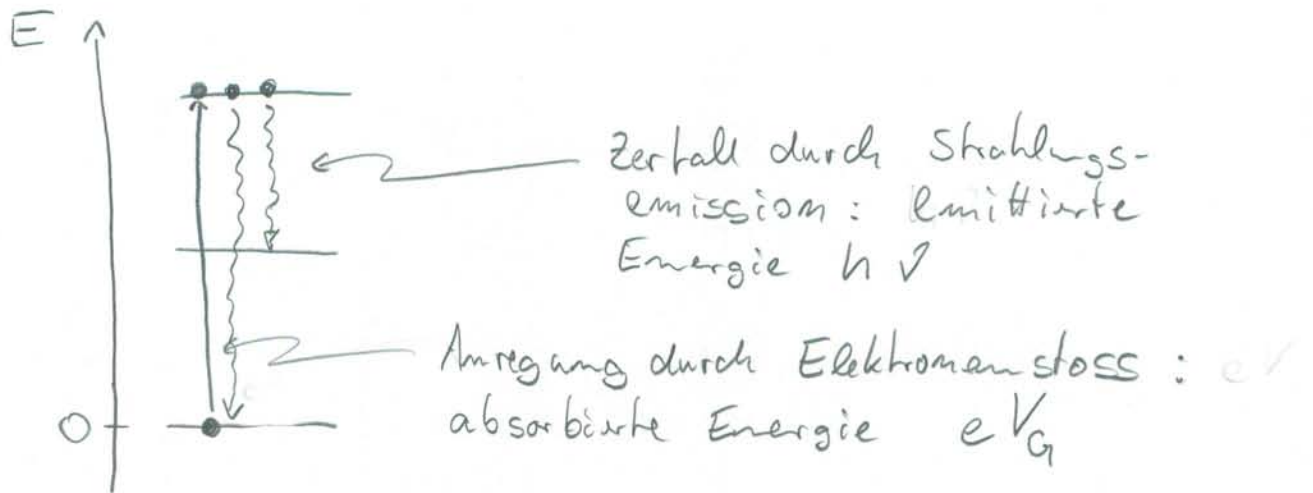
↳ Elektronenstrom gibt Aufschluss über das Anregungsspektrum des Atoms

$V_{G1} < V_1$  : elastische  $e^-$  - Atom Stöße

$V_1 < V_{G1} < V_2$  : ein inelastischer  $e^-$  - Atom Stoß

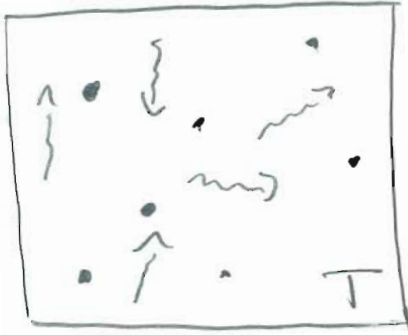
$V_2 < V_{G1} < V_3$  : zwei inelastische  $e^-$  - Atom. Stöße

- Erzeugung von elektromagnetischer Strahlung im Franck-Hertz Experiment



- ⇒ Konsistente Ergebnisse bei detaillierter Untersuchung der absorbierten (Stöße) und emittierten Energie (Spektroskopie)

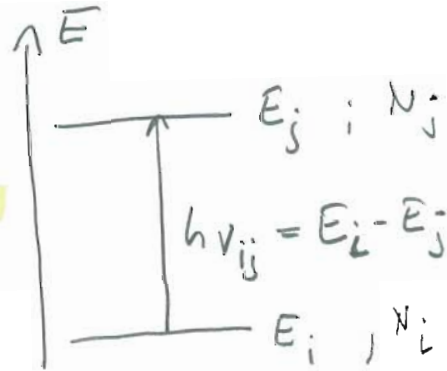
# Absorption, spontane und induzierte Emission im thermischen Gleichgewicht



betrachte  $N$  Atome im thermischen Gleichgewicht mit einem Strahlungsfeld der Energiedichte  $u(\nu)$  bei Temperatur  $T$

- Atome mit Energieniveaus  $E_i$  und  $E_j$  und Übergangsfrequenz

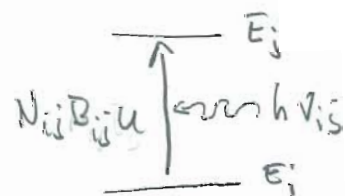
$$\nu_{ij} = \frac{E_j - E_i}{h}$$



- $N_i$ : Anzahl der Atome in Zustand  $E_i$
- $N_j$ : Anzahl der Atome in Zustand  $E_j$
- $N = N_i + N_j$ : Gesamtzahl der Atome

- Anzahl  $N_{ij}$  der Atome, die durch Wechselwirkung mit dem Strahlungsfeld  $u$  einen Übergang von  $E_i$  nach  $E_j$  durch Absorption eines Photons machen

$$N_{ij} = N_i B_{ij} u(\nu_{ij})$$



$B_{ij}$ : Absorptionswahrscheinlichkeit eines Atoms (Einstein B-Koeffizient) proportional zur Zahl der Photonen bei Frequenz  $\nu_{ij}$

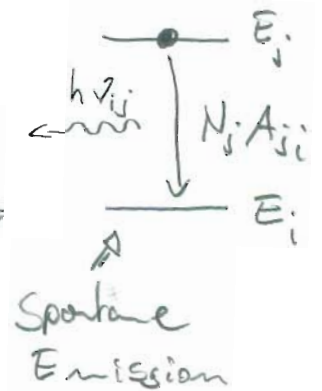


- Anzahl der Atome, die einen Übergang von  $E_i$  nach  $E_j$  durch **spontane** oder **induzierte Emission** machen

$$N_{ji} = N_j (A_{ji} + B_{ji} u(\nu_{ij}))$$

$A_{ij}$  : **Einstein A-Koeffizient** :

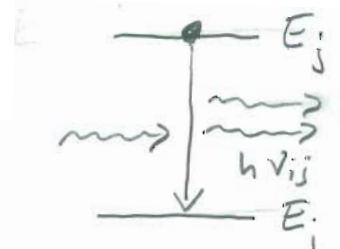
Wahrscheinlichkeit, daß ein Atom **spontan** ein Photon der Frequenz  $\nu_{ij}$  emittiert



$B_{ji}$  : **Einstein B-Koeffizient** :

Wahrscheinlichkeit, daß ein Atom durch Wechselwirkung mit einem Photon zur Emission eines weiteren Photons **stimuliert** wird.

stimulierte Emission  $\rightarrow$



- Im **thermischen Gleichgewicht** ist die Zahl der emittierenden und absorbierenden Atome identisch

$$N_{ij} = N_{ji}$$

- daraus ergibt sich für die Energiedichte des Feldes

$$u(\nu_{ij}) = \frac{A_{ji}}{B_{ji}} \frac{1}{\frac{N_i}{N_j} \frac{B_{ij}}{B_{ji}} - 1}$$

mit der Zahl der Atome im Grundzustand  $E_i$  gegeben durch die klassische Boltzmann-Verteilung

$$N_i = C e^{-\frac{E_i}{k_B T}}$$

und im angeregten Zustand  $E_j$

$$N_j = C e^{-\frac{E_j}{k_B T}}$$

ergibt sich

$$\frac{N_i}{N_j} = e^{\frac{E_j - E_i}{k_B T}} = e^{\frac{h \nu_{ij}}{k_B T}}$$

mit gleichen Wahrscheinlichkeiten für die Absorption und die stimulierte Emission

$$B_{ij} = B_{ji}$$

findet man

$$u(\nu_{ij}) = \frac{A_{ji}}{B_{ji}} \frac{1}{e^{\frac{h \nu_{ij}}{k_B T}} - 1}$$

Planck'sches Strahlungsgesetz nach Einstein

Verhältnis von spontaner zu stimulierter Emission

$$\frac{A_{ji}}{B_{ji}} = \frac{8\pi h \nu_{ij}^3}{c^3}$$

← Modendichte  
\* Energie pro Mode

→ starke Frequenzabhängigkeit der spontanen Emission  
→ spontane Emission ist stimuliert durch Vakuumfeld.

Bemerkungen: • Drei fundamentale Prozesse kontrollieren die Wechselwirkung von Licht und Atomen

- spontane Emission
- Absorption
- stimulierte Emission

• Diese Phänomene erklären die Struktur des Planck'schen Strahlungsgesetzes.

• Stimulierte Emission wird in LASERN zur Erzeugung von kohärentem Licht eingesetzt



# Rydberg - Atome

Atome bei denen sich ein einzelnes  $e^-$  in einem Zustand mit einer sehr grossen Hauptquantenzahl ( $n > 20$ ) befindet.

## Eigenschaften

- grosse Bahn radien des  $e^-$

$$\boxed{r_n = r_1 n^2}$$

$$\rightarrow n = 100 \Rightarrow r_n \sim 500 \text{ nm}$$

$\rightarrow$  Atom ist  $10^4$  mal grösser als gewöhnliches Wasserstoff-Atom

- Rydberg-Atome beliebiger Elemente haben Eigenschaften ähnlich dem Wasserstoff-Atom

$\rightarrow e^-$  bewegt sich effektiv im Feld des einfach ionisierten Atoms

- grosse Dipolmomente

$$\boxed{d \sim e r_n \propto e r_1 n^2}$$

$\rightarrow$  sehr starke Wechselwirkung mit Photonen

Dipolmoment des Wasserstoff-Atoms

- kleine Übergangsfrequenzen

$$\rightarrow \boxed{\nu \sim \frac{R_y}{h} \frac{2}{n^3}} \Rightarrow \nu \Big|_{n=100} = 6.6 \text{ GHz}$$

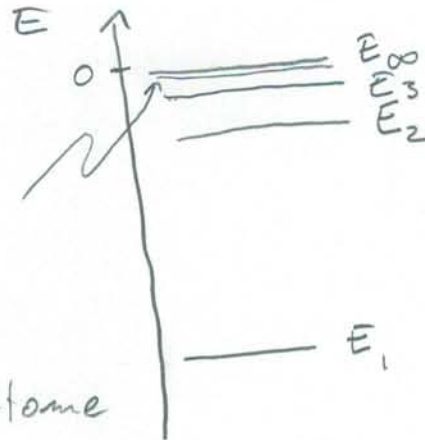
- **lange Lebensdauern**

↳ bis zu Sekunden  $\tau \approx 1s$

- **leicht ionisierbar**

↳  $E_n \sim \frac{1}{n^2}$

↳ einfache Detektion  
der ionisierten Atome



- Erzeugung durch Wechselwirkung mit Photonen  
geeignet gewählter Frequenz  $\nu$

- Detektion mit Sekundärelektronen - Vervielfachern

Anwendung: Grundlagenforschung zur  
Untersuchung der Wechselwirkung  
einzelner Photonen mit einzelnen  
Atomen

# Das Korrespondenzprinzip

Die Vorhersagen von quantenmechanischen Modellen stimmen im Grenzfall hoher Quantenzahlen mit denen der klassischen Modelle überein.

Beispiel: Übergangsfrequenz im Wasserstoff-Atom

QM: 
$$\nu_{if} = \frac{R_y}{h} \left( \frac{1}{m_f^2} - \frac{1}{m_i^2} \right)$$

für benachbarte Zustände

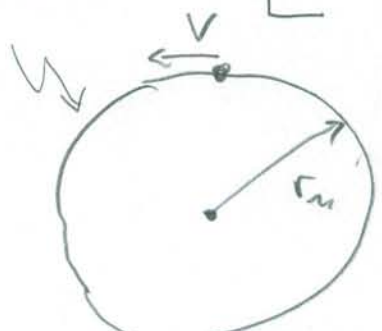
$$m_f = m_i - 1$$

$$\boxed{\nu_{if} = \frac{R_y}{h} \left( \frac{1}{(m_i - 1)^2} - \frac{1}{m_i^2} \right)}$$

$$\approx \boxed{\frac{R_y}{h} \frac{2}{m_i^3}}$$

klassisch: Frequenz der Dipolstrahlung des  $e^-$  auf Umlaufbahn

$\nu = \frac{1}{T}$


$$\boxed{\nu = \frac{v}{2\pi r_m}} = \boxed{\frac{R_y}{h} \frac{2}{m^3}} \rightarrow \text{identisch mit QM Resultat}$$

mit 
$$v = \frac{e}{\sqrt{4\pi\epsilon_0 m r_m}}$$

und 
$$r_m = \frac{n^2 h^2 \epsilon_0}{\pi m e^2}$$

T: Umlaufzeit